

B-N

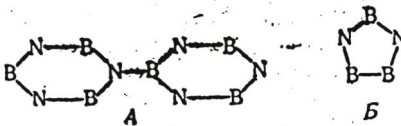
Соединение
бора.

Строение.

10 Б26. Энергия сопряжения и сравнительная устойчивость боразола и некоторых гетероциклических молекул, содержащих атомы бора и азота. Бочвар Д. А., Багатурьянц А. А. «Изв. АН СССР. Отд. хим. н.», 1963, № 5, 785—788

1963

Методом МО ЛКАО с учетом перекрывания рассчитаны некоторые гетероциклические молекулы, содержащие атомы В и N. В основу расчета положены результаты Рутана и Мулликена (Roothaan C. C. I., Mulliken R. S., «J. Chem. Phys.», 1948, 16, № 2, 118). Для некоторых из них получены также молекулярные диаграммы. Проведено в рамках метода МО ЛКАО сравнение рассчитанных гипотетич. молекул с боразолом. Показано, что молекулы со строением (A) и (B) (у всех атомов имеются внециклические σ -связи, которые здесь не указаны)



Х-1964.10

Собр. № 6

имеют не только значительную энергию сопряжения, но и обладают замкнутой электронной оболочкой в смысле Хюккеля, так как в таких молекулах полностью заняты только те MO, уровень энергии которых лежит ниже кулоновского интеграла азота. В связи с этим указано на возможность осуществления синтеза таких молекул.

Реферат авторов

Аг
чие

1964

B-N

cbzg

Uwe. Haeus.

Force constants of various boron-nitrogen compounds. Josef Goubeau (Tech. Hochschule, Stuttgart, Ger.). *Advan. Chem.* Ser. 42, 87-94(1964). Force consts. of various types of B-N compds. were calcd. from the vibrational spectra on the basis of a valence force model. The force const., k_{BN} , of amine boranes was ~ 3.5 millidynes/A., whereas for aminoboranes a value of 7.0 millidynes/A. was obtained. For borazines, calcd. values for k_{BN} range from 5.7 to 6.3 millidyne,/A. Some general features of the force consts., e.g., their utilization to evaluate bond orders, are discussed.

RCBJ

C.A. 1964.60.9
10189a

1964

B-N

clu36

Theoretical investigations on boron-nitrogen molecules. Roald Hoffmann (Harvard Univ.). *Advanc. Chem. Ser.* No. 42, 78-86(1964). A method previously applied to the study of hydrocarbon conformations is here used to investigate a variety of conformational problems in B-N chemistry. Barriers and isomerization energies as well as charge distributions are presented for many simple B-N mols. of the borazane, aminoborane, and borazarobenzene types. The usual resonance picture of the B-N bond is highly misleading, and the N always carries a larger neg. net charge.

RCBJ

C.A. 1964.60.9
10189 col

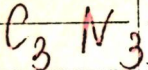
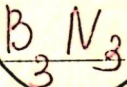
B-N

1967

44372f The BN principal bands in the infrared spectra of N-H-borazine derivatives. A. Meller, H. Marecek, and H. Batka (Tech. Hochsch., Vienna). *Monatsh Chem.* 98(6), 2135-7 (1967)(Ger). The position of the BN main band in the ir spectra of several N-H-borazines is discussed. RCQO

C.A. 1968. 68. 10

1968



~~Computer Types~~

((110026v) Structures of C_6 , B_3N_3 , and C_3N_3 ring compounds. Bauer, S. H.; Katada, Kinya; Kimura, Katsumi (Cornell Univ., Ithaca, N.Y.). *Struct. Chem. Mol. Biol.* 1968, 653-70 (Eng). Edited by Rich, Alexander. W. H. Freeman and Co.: San Francisco, Calif. Changes in size and shape of six-membered rings that were due to the substitution of F atoms for H atoms were considered. Here the authors suggested another measure of the extent of delocalization of the π -electrons: the degree of retention of structural integrity of the ring in the presence of perturbing substituents. A related effect, but one that is not as straight-forward to interpret, is the extent of contraction of C-F or B-F bond lengths due to substitution of F for H on other atoms in the ring. N. C. Das

$$+2$$

C.A. 1968. 69. 26



B-N

1980

94: 71730q Bond energy of boron nitride in a molecular approximation. Osinovskaya, T. I. (Inst. Fiz. Tverd. Tela Poluprovodn., Minsk, USSR). *Fiz., Tekhnol. Proizvod. Poluprovodn. Prib., Mater. Resp. Konf. Molodykh Uch.* 1980, 2, 35-6 (Russ). Akad. Nauk Litov. SSR, Inst. Fiz. Poluprovodn.: Vilnius, USSR. The bond energy of B-N was calcd. by assuming spheric symmetry of at. ds. and by using the computer calcn. method of T. D. Sokolovskii (1980). It is 132.7 kcal/mol.

See page
16834

See page

C.A.1981.94, NO

$B_3N_3X_6$

$X = \text{ZnO}_2\text{H}_2\text{O}$.

$\text{Ce}_3\text{N}_3\text{O}_6\text{H}_2\text{O}$.
 $\text{Ce}_3\text{N}_3\text{O}_6\text{H}_2\text{O}$.

[Omnick 12847] 1980.
Subedar M.R.,
et al.

Indian J. Pure
and Appl. Phys.,
1980, 18, N6, 396-400.

(See $H_3B_3N_3H_3$; III)

B - N соедин.

1982

9 Д37. Квантовохимическое исследование основных состояний группы ненасыщенных боразотных соединений методом МПДП. Ч. 1. Геометрия и стабильность. Quantum study of the ground state of a series of unsaturated boron-nitrogen compounds by the MNDO method. I. Geometries and stabilities. Maouche Boubekeur, Gayoso José. «Int. J. Quantum Chem.», 1983, 23, № 3: Proc. 4 Int. Congr. Quantum Chem., Uppsala, 13—20 June, 1982. Contrib. Pap., Pt. 3, 891—904 (англ.)

Методом ССП МО ЛКАО в валентном приближении МПДП исследовано электронное строение 19 соединений, содержащих 2—6 атомов В, С и N (2 и 3 атома — линейные, 3—6 атомов — циклические). Проведена полная оптимизация геометрии. Приведены геометрия, теплоты образования и атомизации, энергии разделения связей и гидрогенизации. Большой барьер вращения в иминоборане H_2BNH_2 (30,6 ккал/моль) и длина связи BN в иминоборане HBNH (1,183 Å) свидетельст-

*струкц. Но,
геометр., 3Мf*

(обзор)

9. 1983, 18, N 9

зуют, что связи в этих молекулах двойная и тройная соответственно. Из трех изомерных боразинов наиболее стабилен содержащий двойную связь C=N. В гетероциклах с нечетным числом атомов стабильность растет с ростом числа атомов В. Правило $4n+2$ Хюкеля оказалось непригодным для предсказания ароматичности боразотных соединений. Связь NN найдена более реакционноспособной, чем BB. Обсуждено альтернирование связей в боразотных аналогах фульвена. В. Л. Лебедев

B-N

1982

'97: 28719t Quantization of bonding characteristics of nitrogen-silicon bonds in silatrane and nitrogen-boron bonds in boratrane. Yu, Jianguo; Liu, Ruozhuang (Dep. Chem., Beijing Norm. Univ., Beijing, Peop. Rep. China). *Kexue Tongbao* 1982, 27(10), 603-6 (Ch). The bonding characteristics in silatrane and boratrane compds. were studied by EHMO, CNDO/2 and ab initio methods. The electron configurations of B, N, Si, and the bond energies for B-N, B-O, Si-N and Si-O were given.

Hepwell
Chem

(f3) R

c.A. 1982, 97, n4

B-N

1984

9 Б1046. Улучшенные расчеты с орбиталями связей барьеров вращения и геометрической изомерии. Improved bond-orbital calculations of rotation barriers and geometrical isomerism. Russo Gian Franco, Magnasco Valerio. «Mol. Phys.», 1984, 53, № 3, 615—630 (англ.)

Для 19 молекул со связями B—N, C—C, C—N, C—O, N—N, N=O, O=O выполнены расчеты барьеров внутреннего вращения, а для 3 молекул со связью N=N — разности энергий геометрических изомеров и проведен анализ вкладов в рассматриваемую энергию. Вычисления выполнены с неортогональными орбиталями, имеющими смысл орбиталей остова, неподеленных пар, связей и т. д., построенным с миним. базисом ОСТ-ЗГФ. По минимуму энергии определены параметры гибридизации и полярности орбиталей. В рамках теории возмущений 2-го порядка учтены корреляц. поправки, из к-рых важнейшими являются возбуждения с занятых

(*) 47

X. 1985, 19, № 9

орбиталей связей на соотв. разрыхляющие орбитали.
Проведено разбиение полной энергии на вклады и для
одноконфигурац. составляющей, и для поправок теории
возмущений. Предложена классификация молекул по
таким структурным характеристикам как неподеленные
пары и двойные связи, что позволяет установить кор-
реляцию с энергетич. вкладами. А. В. Немухин

B-N

1984

5 Д47. Улучшенные расчеты методом орбиталей связей для вращательных барьеров и геометрического изомеризма. Improved bond-orbital calculations of rotation barriers and geometrical isomerism. Musso Gian Franco, Magnasco Valerio. «Mol. Phys.», 1984, 53, № 3, 615—630 (англ.)

Неэмпирически в рамках метода орбиталей связей рассчитаны вращательные барьеры в 19 молекулах с единственным углом внутреннего вращения вокруг центральной связи $\text{B}-\text{N}$, $\text{C}-\text{C}$, $\text{C}-\text{N}$, $\text{C}-\text{O}$, $\text{N}-\text{N}$, $\text{N}-\text{O}$, $\text{O}-\text{O}$, а также геометрический изомеризм в 3 молекулах с двойной связью $\text{N}=\text{N}$. Начальное приближение, в котором химич. группы в молекулах описываются в терминах неортогональных ССП орбиталей связей, сконструированных из энергетически-оптимизированных полярностей, и параметров гибридизации связей, уточняется введением однократных возбуждений со связывающими орбиталей на разрыхляющие и учетом обмена, включающего индукцию (поляризацию и делокализацию), в рамках теории возмущений второго порядка. Данные, полученные в базисе ОСТ—ЗГФ, согласуются с экспе-

теор.
расчет

№ 77

оф. 1985, 18,
n 5

риментом и соответствующими расчетами ССП МО в том же базисе. Установлена четкая корреляция между вращательными барьерами и химич. структурой, причем в зависимости от структуры барьеры могут быть обусловлены стерич. взаимодействиями (отталкиванием Паули), либо конкуренцией между отталкиванием Паули 1-го порядка и характеристич. делокализацией геминальных σ — σ^* -орбиталей 2-го порядка, либо значительной делокализацией вицинальных π — π^* -орбиталей, либо, наконец, конкуренцией всех рассмотренных эффектов.

Н. В. В.

(R_{e})
1'

HeBN 1988

ArBN Frenking Gerrot,
Koch W., et al.

сейтабиелл. J. Am. Chem. Soc.

Сейтабиелл. 1988, 110 (24),

8007-16.

(см. HeBeO; III)

NBN³⁻ (OM 32059) 1989

Rytkö P.,

Chem. Phys. Lett.,

1989, 156, N4, 337-340.

(r, ρ_i)

ab initio

B_2N
 BN_2

1989

Martin J.-M. Z.,
Francois J.-P. et al.

ab initio
pacrēm
empykm.,
Vi, Do;

J. Chem. Phys. 1989,
90 (11), 6469–85.

(ccl. B_3 ; III)

NH₄ BH₄

1990

7 Б1061. Теоретическое исследование структурной нежесткости, стабильности и водородной связи в молекулах гидридных и гидрид-фторидных солей DX_4AY_4 ($D=N$ и P , $A=B$ и Al , $X=H$ и $Y=F$) / Баранов Л. Я., Чаркин О. П. // Ж. неорган. химии.— 1990. — 35, № 11.— С. 2888—2898.— Рус.

Выполнены неэмпирич. расчеты ССП/3-21Г+3d(Al, P) с частичной оптимизацией геометрии молекул $DX_4AY_4 = NH_4BH_4$, NH_4AlH_4 , PH_4BH_4 , PH_4AlH_4 , NH_4BF_4 , NH_4AlF_4 и PH_4BF_4 при различных взаимных ориентациях тетраэдрич. катионов и анионов. Сделан вывод о структурной нежесткости этих молекул по отношению к внутримолек. вращениям катиона и аниона с барьерами порядка нескольких ккал. Приведены оценки энергий распада $DX_4AY_4 \rightarrow DX_3 + XY + AY_3$ этих солей. Гидриды энергетически нестабильны, а гидрид-фториды стабильны к данному распаду. Обсуждена роль вз-вий $D-H \dots H-A$ в гидридах $DH_4^+AH_4^-$ и $D-H \dots F-A$ в гидрид-фторидах $DH_4^+AF_4^-$.

Резюме

(46)
80

X.1991, N 7

NBN³

1990

Pyykkö PERKKÄ.

Ann. acad. sci. fenn.

u.s. ser. A2. 1990. N 227.

c. 187.

(Cal. C₂²; III)

H_2BNH_2 1990
 $NBNH$ Sana M., Leroy G.,
et al.

J.R.
J. Chim. Phys. et Phys.-
Chim. Biol. 1990. 87,
N° C. 1-91.

(Ces. $\bullet H_2BBH_2$; III)

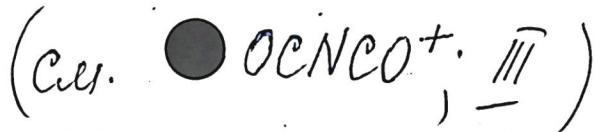
BNy-

1991

Pyykkö Pekka, Runeberg Niilo.

журнал
конференции,
структур

J. Mol. Struct. Theochem.
1991. 234. C. 279-290.



BNB

1992

№ 14 Б1033. Изучение соединений $^{11}\text{B}^{14}\text{N}^{11}\text{B}$ и $^{10}\text{B}^{14}\text{N}^{11}\text{B}$ методом ЭПР в матрице и теоретически; получение испарением под действием лазера. Matrix isolation ESR and theoretical investigations of $^{11}\text{B}^{14}\text{N}^{11}\text{B}$ and $^{10}\text{B}^{14}\text{N}^{11}\text{B}$: laser vaporization generation / Knight Lon B., Hill Devon W., Kirk T. J., Arrington C. A. // J. Phys. Chem.— 1992.— 96, № 2.— С. 555—561.— Англ.

М.Н.

Описан метод получения радикалов $^{11}\text{B}^{14}\text{N}^{11}\text{B}$ и $^{10}\text{B}^{14}\text{N}^{11}\text{B}$ при испарении тв. нитрида бора под действием лазерного излучения. Полученные радикалы изолированы в матрицах Ne, Ar и Kr при 4 К и для них сняты спектры ЭПР. Проведено теор. изучение электронной структуры полученных радикалов методом ССП и по теории возмущений (ТВ) Меллера-Плессета 2-го и 4-го порядков. Расчет проведен в базисе 6—31 G. Методы ССП и ТВ второго порядка приводят



X. 1992, N 14

к потенциальным поверхностям с двумя минимумами, а ТВ 4-го порядка — с одним. Наиболее точный расчет приводит к линейной равновесной конфигурации с основным электронным состоянием симметрии $^2\Sigma_u$. Рассчитан A -тензор, определяющий сверхтонкие ядерные взаимодействия, при этом теор. результаты хорошо согласуются с эксперим. Найдено, что неспаренный электрон локализован в основном на sp -орбиталах двух атомов бора. Магнитные параметры изученных радикалов в различных матрицах очень близки. Для случая неоновой матрицы при 4 К они равны (в МГц): $g_{\parallel} = 2,0020(4)$, $g_{\perp} = 2,0011(3)$; $A_{\parallel} = 434(1)$, $A_{\perp} = 485(2)$ для ^{11}B ; $|A_{\parallel}| \leq 3$, $|A_{\perp}| = 20(1)$ для ^{14}N . Библ. 31.

В. Б. Павлов-Веревкин

B_2N , B_2N^+ , B_2N^- , B_2N_2

1992

ЗБ1034. Структура, стабильность и инфракрасный спектр B_2N , B_2N^+ , B_2N^- , BO , B_2O и B_2N_2 . The structure, stability, and infrared spectrum of B_2N , B_2N^+ , B_2N^- , BO , B_2O and B_2N_2 /Martin J. M. J., Francois J. P., Gijbels R. //Chem. Phys. Lett. .—1992 .—193 ,№ 4 .—С. 243—250 .—Англ.

Рассчитаны структуры, ИК-спектры и теплоты образования молекул B_2N , B_2N^+ , B_2N^- , BO , B_2O и B_2N_2 . Геометрич. параметры оптимизированы при расчете методом ССП в базисе 6-31ГФ*. Относит. стабильности структур рассчитаны квадратичным методом конфигурац. вз-вия. Для наиболее стабильных структур вычислены колебат. частоты по теории возмущений Меллера — Плессета второго порядка. Энергии атомизации BO , B_2O и B_2N составили 193,1, 292,5 и 2225,0 ккал/моль соотв. Потенциал ионизации и сродство к электрону B_2N равны 8,62 и 3,34 эВ соотв. Библ. 51.

А. А. Сафонов

М.П.



(42)

Х. 1994, №3

*B₂N, B₂N⁺,
B₂N⁻, B₂N₂*

*B₂N, B₂N⁺,
B₂N⁻, B₂N₂*

1992

117: 97794g The structure, stability, and infrared spectrum of boron nitrides (B_2N , B_2N^+ , B_2N^- , B_2N_2) and boron oxides (BO , B_2O). Martin, J. M. L.; Francois, J. P.; Gijbels, R. (Dep. SBG, Limburgs Univ. Cent., 3590 Diepenbeek, Belg.). *Chem. Phys. Lett.* 1992, 193(4), 243-50 (Eng). The structure, IR spectrum, and heat of formation of B_2N , B_2N^- , BO , and B_2O have been studied by ab initio calcns.. B_2N is very stable; B_2O even more so. B_2N , B_2N^- , B_2O , and probably B_2N^+ have sym. linear ground-state structures; for BO , an asym. linear structure lies about 12 kcal/mol above the ground state. B_2N^+ , B_2N^- and B_2O have intense asym. stretching frequencies, predicted near 870, 1590, and 1400 cm^{-1} , resp. The predicted harmonic frequencies and isotopic shifts for B_2O confirm the recent exptl. identification by Andrews and Burkholder. Absorptions at 1889.5 and 1998.5 cm^{-1} in noble-gas trapped boron nitride vapor belong to the BNB and BNBN ($^3\Pi$), resp.; a tentative assignment of 882.5 cm^{-1} to BNB* is proposed. Total atomization energies $\sum D_0$ ($\sum D_0$) are computed (accuracy ± 2 kcal/mol) as: BO 193.1 (190.4), B_2O 292.5 (288.7), B_2N 225.0 (250.3) kcal/mol. The ionization potential and electron affinity of B_2N are predicted to be 8.62 ± 0.1 and 3.34 ± 0.1 eV. The MP4-level additivity approxns. involved in G1 theory results in errors on the order of 1 kcal/mol in the $\sum D_0$ values.

*чтвртнія,
мадуріони,
ук. енерг.,*

*ділони, Ae,
D₀, Fe, ab initio
ук. енерг.*

C.A. 1992,

117, N 107

$B_{12} N_{12}$

1993

Jensen Frank,
Taftlund Hans.

структура C_{12} Chem. Phys. Lett.

литература. 1993, 201 (1-4), 89-96.

(см. С24 ; III)

B₃N

1993

118: 87924f The structure, energetics, and harmonic vibrations of boron nitride (B₃N). Slanina, Zdenek; Martin, Jan M. L.; Francois, Jean-Pierre; Gijbels, Renaat (Limburgs Univ. Cent., Dep. SBG, Univ. Campus, 3590 Diepenbeek, Belg.). *Chem. Phys. Lett.* 1993, 201(1-4), 54-8 (Eng). The structure, energetics, and harmonic vibrations of B₃N were calcd. at a correlated, ab-initio level. The lowest potential-energy structure found exhibited a linear BBNB arrangement, followed by a D_{3h} structure sep'd. by about 60 kJ/mol. C_{2v} And linear BBBN configurations are still higher in energy, so that they are located above triplet min.-energy structures. The predicted IR lines only partly match the available obsd. matrix data.

*COPYRIGHTED,
DO, VI*

c.A.1993, 118, N10

B₃N

1993

*Chasurbit,
Copyrype*

120: 62939t On the relative stabilities of the linear and triangular forms of boron nitride (B₃N). Slanina, Zdenek; Martin, Jan M. L.; Francois, Jean-Pierre; Gijbels, Renat (Limburgs Universitair Centrum, Departement SBG, Universitaire Campus, B-3590 Diepenbeek, Belg.). *Chem. Phys.* 1993, 178(1-3), 77-82 (Eng). The two recently elucidated isomers of B₃N lowest in energy, the singlet linear (¹Σ⁺) and triangular (¹A₁) structures, are studied further. The all-electron limited CI method with all single and double excitations (CISD), quadratic CI with all singles and doubles (QCISD), and with a quasiperturbative treatment of higher excitations (QCISD(T)) are used together with a no. of basis sets of the Pople family. Using std. G1 theory, the total atomization energy ΣD_0 for the linear structure is found to be 1397 kJ/mol, which means the mol. is quite stable with respect to fragmentation. The X¹Σ⁺ state has two intense IR bands in the 1100-1200 and 2000-2100 cm⁻¹ ranges and should be observable; isotopic substitution data have been given. The inter-isomeric thermodn. is described using the best computed parameters, and it is shown that even at high temps. the triangular form should represent at most about 3% of the B₃N system.

C.A. 1994, 120, n6

1994

BN₃
B₃N

1 Б1049. Структура, энергетика и гармонические колебания B_3N и BN_3 . The structure, energetics, and harmonic vibrations of B_3N and BN_3 /Martin Jan M. L., Slanina Zdenek, François Jean-Pierre, Gijbels Renaat //Mol. Phys. .—1994.—82 ,№ 1 .—С. 155—164 .—Англ.

Методом связанных кластеров исследована потенциальная поверхность молекулы BN_3 . Показано, что в основном состоянии молекула линейна $NNBN$ ($^1\Sigma^+$). Методом связанных кластеров с учетом трехкратно возбужденных конфигураций (СКТ) и использованием расширенных базисных наборов АО рассчитаны частоты гармонич. колебаний молекул B_3N и BN_3 . Показано, что равновесные структурные параметры и частоты колебаний молекулы BN_3 очень чувствительны к методу учета электронной корреляции. В приближении СКТ в трехэкспонентном базисе, дополненном двумя наборами поляризаций, частоты колебаний и изотопные сдвиги хорошо согласуются с экспериментом. Наилучшие оценки энергий атомизации молекул B_3N и BN_3 составляют 337,6 и 378,8 ккал/моль соотв.; основные каналы распада: $B + B_2N$ и $BN + N_2$.

Е. А. Рыкова

X. 1995, № 1

B_3N
 BN_3

1994

CHYUKYU,
CHAGUNHOCP,
Pi, Meop-facum

121: 43233n The structure, energetics, and harmonic vibrations of B_3N and BN_3 . Martin, Jan M. L.; Slanina, Zdenek; Francois, Jean-Pierre; Gijbels, Renaat (Dep. SBG, Limburgs Univ. Centrum, B-3590 Diepenbeek, Belg.). *Mol. Phys.* 1994, 82(1), 155-64 (Eng). The potential energy surface of the BN_3 mol. was explored using coupled cluster methods. It is shown unambiguously that the ground state is linear $NNBN(^1\Sigma^+)$. Harmonic frequencies for B_3N and BN_3 were computed using extended basis sets and coupled cluster methods including triple excitations (CCSD(T)). Computed frequencies and geometry for BN_3 are very sensitive to the electron correlation method. CCSD(T)/TZ2P frequencies and isotope shifts for BN_3 are in excellent agreement with expt. Best ests. for the total atomization energies (ΣD_e) of B_3N and BN_3 are 337.6 and 378.8 kcal mol⁻¹, resp. Preferred fragmentation channels are into $B + B_2N$ and $BN + N_2$, resp.

C.A. 1994, 121, N4

B.N₂

lecture

1994

121: 18539j Ab initio study of the spectroscopy, kinetics, and thermochemistry of the BN₂ molecule. Martin, Jan M. L.; Taylor, Peter R.; Franois, J. P.; Gijbels, R. (Departement SBG,

Limburgs Universitair Centrum, Universitaire Campus, 3590 Diepenbeek, Belg.). *Chem. Phys. Lett.* 1994, 222(5), 517-23 (Eng). Several low-lying structures and electronic states of the BN₂ mol. have been studied using complete active space SCF, multireference averaged coupled-pair functional (ACPF), and coupled-cluster (CCSD(T)) methods. BNN(²II) and BN₂(²A₁) are very close together in energy: at the ACPF level, the sepn. is 2.8 kcal/mol. The potential surface for the transition between these structures appears to have a significant energy barrier, so it is surprising that the ²A₁ state has not yet been obstd. Conversely, the low-lying BN₂(²B₂) state has a very low barrier towards dissociation, which explains why it has not been obstd. The sym. linear species NBN(²II), on the other hand, is substantially higher in energy, but has a very large barrier towards dissociation and is therefore obstd. exptl. At the highest level of theory, the ground BNN(²II) state is nearly isoenergetic with B(²P)+N₂(X¹Σ⁺).

ab initio

sacrem. M.N.

M.X.

c.A. 1994, 121, N 2

BN₂

1994

5 Б1052. Неэмпирическое изучение спектроскопии, кинетики и термохимии молекулы BN₂. Ab initio study of the spectroscopy, kinetics, and thermochemistry of the BN₂ molecule /Martin Jan M. L., Taylor Peter R., Francois J. P., Gijbels R. //Chem. Phys. Lett. .—1994 .—222 ,№ 5 .—C. 517—523 .—Англ.

Методами ССП в полном активном пространстве, усредненного функционала связанных пар с несколькими исходными конфигурациями и методом связанных кластеров (с учетом одно-, двух- и частично трехкратных возбуждений) исследованы низколежащие структуры и электронные состояния молекулы BN₂. Показано, что молек. линейная структура основного состояния BNN (²π) и циклич. структура BN₂ в состоянии ²A₁ очень близки по энергии и разделены значит. энергетич. барьером. На самом высоком уровне расчета структура BNN (²π) является изоэнергетич. с продуктами диссоциации B (²P) + N₂.

и.п.

X.1995, N5

($X^1\Sigma^+$). Найдено также, что для молек. структуры BN_2 в состоянии 2B_2 барьер диссоциации очень низок, в то время как для более высокознергетич. симм. линейной структуры NBN (${}^2\pi$) барьер, препятствующий диссоциации молекулы, является очень высоким.

Н. С.

(BN)₂

(BN)₃

Структура

1994

14 Б1045. Структура и устойчивость микрокластеров [нитрида бора] BN. Неэмпирический расчет $(BN)_n$ ($n=2-4$). Structure and stability of BN microclusters: Ab initio calculations for $(BN)_n$ ($n=2-4$) / Sutjianto Amin, Pandey Ravindra, Recio J. Manuel // Int. J. Quantum Chem. — 1994. — 52, № 1. — С. 199—210. — Англ.

Неограниченными методами ХФ и МП2 исследованы кластеры $(BN)_n$ с $n=2-4$. Показано, что линейная и ромбич. формы $(BN)_2$ являются почти изоэнергетическими, в то время как циклич. форма предпочтительна для кластеров $(BN)_3$ и $(BN)_4$, при этом для линейных изомеров характерно триплетное спиновое состояние, для циклич. изомеров — синглетное. Степень полярности связи B—N увеличивается с увеличением размера кластера. Найдено также, что нейтр. кластеры $(BN)_n$ имеют структурные конфигурации, тождественные соответствующим структурам C_{2n} .

Н. С.

X. 1995, N/Ч

$(BN)_n$

$n = 2+4$

CPYKAYPA
ll

mafeen hoob,
ab initio
pacem

C.A. 1994, 121, N 20

1994

121: 238775y Structure and stability of BN microclusters: ab initio calculations for $(BN)_n$ ($n = 2-4$). Sutjianto, Amin; Pandey, Ravindra; Recio, J. Manuel (Physics Dep., Michigan Technological Univ., Houghton, MI 49931 USA). *Int. J. Quantum Chem.* 1994, 52(1), 199-210 (Eng). UHF calcns., coupled with MP2 correlation corrections, were done to study the structures and energetics of microclusters. For $(BN)_2$, linear and rhombus forms are almost isoenergetic; whereas, cyclic forms are preferable for the $(BN)_3$ and $(BN)_4$ clusters. As a general trend, linear isomers prefer the triplet spin state; whereas, cyclic isomers prefer the singlet spin state. Total charge-d. plots show a strong dominance of the B-N bond, indicating that the extent of its polar character becomes stronger with increase in the cluster size. The loss of a BN monomer is shown to be the most likely fragmentation channel for both neutral and singly-ionized clusters. This similarity follows the isoelectronic principle, and is of importance due to recent interest in the investigations of BN fullerene analogs.

B-N

1995

Díaz F., Guillermo;
Carrasco V., Marcelo; et al.,

(D)

Vib. spectosc., 1995,
9(3), 257-64..

(all Re-N; $\frac{1}{\pi}$)

1995

 B_3N_3
 B_4N_4

21 Б141. Структура и термохимия B_3N_3 и B_4N_4 . Struc-

tures and thermochemistry of B_3N_3 and B_4N_4 / Martin Jan.
 M. L., El-Yazal Jamal, Francois Jean-Pierre, Gijbels Renaat
 // Chem. Phys. Lett. — 1995 .— 232 , № 3 .— C.
 289—294 .— Англ.

Неэмпирическим методом ССП МО ЛКАО в расширенных гауссовых базисах с учетом электронной корреляции методами связанных кластеров и включением возбуждений вплоть до трехкратных исследовано электронное строение B_3N_3 (I) и B_4N_4 (II). Основными состояниями являются состояния $'A'$, и $'A_g$, с моноклинной структурой, одинаковыми длинами связей кумуленового типа и чередующимися углами (угол BNB меньше, чем угол NBN). Стабильными, но менее выгодными являются линейные структуры BNB(BN) в состоянии $^3\Pi$ с альтернирующими связями полиенового типа. Энергии atomизации I и II оценены в 697,0 и 995,6 ккал/моль соответственно. Рассчитаны положения полос в ИК-спектрах.

Н. Л.

Х 1995, № 2/

(17)

 B_3N_3 , B_4N_4 (ДИФ)

B₃N₂
B₂N₃
BN₄
Sat H u CMAF
(CNP-PA)
mop-paint

123: 155131a The structure and energetics of B₃N₂, B₂N₃, and BN₄. Symmetry breaking effects in B₃N₂. Martin, Jan M. L.; El-Yazal, Jamal; Francois, Jean-Pierre; Gijbels, Renaat (Department SBG, Limburgs Universitair Centrum, B-3590 Diepenbeek, Belg.). *Mol. Phys.* 1995, 85(3), 527-37 (Eng). The structures of B₃N₂, B₂N₃, and BN₄ were studied using complete active space SCF (CASSCF) and augmented coupled cluster (CCSD(T)) methods. B₃N₂ has a symmetry-broken linear ground state structure BNBNB(²S⁺) and is very stable. B₂N₃ has a linear ground state structure BNBNN(² π) and is nearly isoenergetic with its (thermodynamically preferred but symmetry forbidden) dissociation products BNB(² Σ_g^+). BN₄ has the ground state structure NNBNN(² π_u) that is symmetry broken at the CCSD(T), but sym. at the CASSCF level. Predictions for the IR spectrum of the species involved were given. The best computed total atomization energies ΣD_0 (error bar ± 4 kcal mol⁻¹) are: B₃N₂, 504.6 kcal mol⁻¹; B₂N₃, 479.1 kcal mol⁻¹; and BN₄, 460.8 kcal mol⁻¹.

1995

C.A. 1995, 123, N/2

By Nay

1996

Jiang, Xin-Tian; et al.,

ab initio
paarlem
emp-ME,
 P_i
Chin: J. Chem. 1998, 14(d),
490 - 496.

(cell.  Na8; III)

1996

B(N₃)₃
Al(N₃)₃

127: 312589h Low temperature matrix isolation studies of B-(N₃)₃ and Al(N₃)₃. Linnen, C. J.; Gilbert, J. V. (Department of Chem. & Biochem., University of Denver, Denver, CO 80208 USA). *Int. Conf. Low Temp. Chem.*, 2nd 1996, 143-144 (Eng). Edited by Durig, James R.; Klabunde, Kenneth J. BkMk Press: Kansas City, Mo. A method is described for the prepn. of low-temp. Ar matrixes contg. the title (not particularly stable) compds. The IR spectra of these samples is presented and discussed.

UK 8

8

MANUSC
⑦

C.A. 1997, 127, N22

1996

of 38204

F: B3N3

P: 3

97. 13Б150. Структура и колебания [клластеров] $B[n]N[n]$ ($n=3-10$). [Расчет методом функционала плотности]. Structure and vibrations of $B[n]N[n]$ ($n=3-10$) / Martin Jan M. L., El-Yazal Jamal, Francois Jean-Pierre // Chem. Phys. Lett. - 1996. - 248, N 1 - 2. - C. 95-101. - Англ.

РНХ 1997

B_2N^- (O.M. 39929) 1999

Knut L. Asmis et al.,

J. Chem. Phys., 1999,
III, N19, 8838 - 8851

Anion photoelectron spectra -
copy of $B_2 \bullet N^-$.

1999

F: B2N

P: 3

132:143908 Anion photoelectron spectroscopy of
small boron nitride cluste adiabatic detachment
energies and vibrational frequencies of low-lying
electronic states in B2N and B3N. Asmis, K. R.
Taylor, T. R.; Neumark, D M. Department of
Chemistry, University of California Berkeley, CA
94720, USA Eur. Phys. J. D, 9(1-4), 257-261
(English) 1999 Vibrationally resolved photoelectron
spectra of B2N- and B3N- at 266 nm are reported.
The spectroscopy of B3N was studied exptl. The
spectra al detn. of adiabatic detachment energies

C.A.2000, 132

and vibrational frequencies for several low-lying electronic states of the neutral species. Both ground state anions have linear geometries. For B₂N- transitions to 2 electroni states of the neutral are obsd. The electron affinity of B₂N (X2.SIGMA.u is 3.098 .+- .010 eV. The term energy of the electronically excited st (A2.SIGMA.g+) is 0.785 eV. Transitions to 3 electronic states of B₃N are obsd., of which the 1st 2 show vibrational structure. The adiabatic detachment energies for these 2 states are 2.919 and 3.062 eV. Prelimina calcns. indicate that the photodetachment transition between the electron ground states of B₃N- and B₃N is spin-forbidden and not obsd. in the spec

1999

F: B3N

P: 3

132:143908 Anion photoelectron spectroscopy of small boron nitride cluste adiabatic detachment energies and vibrational frequencies of low-lying electronic states in B₂N and B₃N. Asmis, K. R.; Taylor, T. R.; Neumark, D M. Department of Chemistry, University of California Berkeley, CA 94720, USA Eur. Phys. J. D, 9(1-4), 257-261 (English) 1999 Vibrationally resolved photoelectron spectra of B₂N- and B₃N- at 266 nm are reported. The spectroscopy of B₃N was studied exptl. The spectra al detn. of adiabatic detachment

C.A. 2000, 132

energies and vibrational frequencies for several low-lying electronic states of the neutral species. Both ground state anions have linear geometries. For B2N- transitions to 2 electroni states of the neutral are obsd. The electron affinity of B2N (X2.SIGMA.u is 3.098 .+- .010 eV. The term energy of the electronically excited st (A2.SIGMA.g+) is 0.785 eV. Transitions to 3 electronic states of B3N are obsd., of which the 1st 2 show vibrational structure. The adiabatic detachment energies for these 2 states are 2.919 and 3.062 eV. Prelimina calcns. indicate that the photodetachment transition between the electron ground states of B3N- and B3N is spin-forbidden and not obsd. in the spec

F: B2N-

P: 3

1999

132:28079 Anion photoelectron spectroscopy of B2N-.
Asmis, Knut R.; Taylo Travis R.; Neumark, Daniel
M. Department of Chemistry, University of Cali
Berkeley, CA, USA J. Chem. Phys., 111(19),
8838-8851 (English) 1999 Vibrationally resolved 355
and 266 nm anion photoelectron spectra of B2N are
presented. Photodetachment to two electronic states of
linear B-N-B obsd. and, aided by electronic structure
calcns., assigned to the X 1.SIG 2.SIGMA.u++e- and X
1.SIGMA.g+ A 2.SIGMA.g++e- transitions. The electron
affinity of B2N is 3.098 .+- .0005 eV and the A
2.SIGMA.g+ term energy T 0.785 .+- .0005 eV.
Observation of excitations involving uneven quanta
antisym. stretching mode (v3) indicates a breakdown of
the Franck-Condon approxn. and results from Herzberg-
Teller vibronic coupling between the X 2.SIGMA.u+ and A

C.A.2000, 132

2.SIGMA.g+ states involving the v3 mode. Measurement of angular dependence of the photodetached electrons serves as a sensitive p for the identification of these FC forbidden transitions. A linear vibro coupling model qual. reproduces the perturbed v3 potentials of the X and states. Artifactual symmetry breaking along the v3 coordinate is obsd. i ab initio wave functions for the neutral ground state up to the coupled-c level of theory, even when Brueckner orbitals were used. No evidence is for an energetically low-lying cyclic state of B2N, which was invoked in assignment of the matrix IR spectrum of B2N. However, the matrix IR data well with the peak spacing obsd. in the photoelectron spectra and reassig the linear X 2.SIGMA.u+ ground state.

[OM 39976]

1999

F: B3N-

P: 3

132:56361 Anion photoelectron spectroscopy of
B3N-. Asmis, Knut R.; Taylor, Travis R.; Neumark,
Daniel M. Department of Chemistry, University of
California Berkeley, CA 94720, USA J.
Chem. Phys., 111(23), 10491-10500 (English) 1999

Vibrationally resolved neg. ion photoelectron spectra of B3N- at 355 and 266 nm are presented. Two intense bands are obsd. with adiabatic detachment energies (ADEs) of 2.923 .+- .0.008 eV and 3.063 .+- .0.008 eV and markedly different photoelectron angular distributions. Aided by electronic structure calcns., the 2 bands are assigned to transitions from the linear X 4.SIGMA.- state of B3N- to the linear

C.A.2000, 132

3.PI. and 5.SIGMA.- electronically excited states of neutral B₃N, with all 3 states having a B-N-B-B structure. Weak signal obsd. at lower electron binding energies is tentatively assigned to 2 addnl. linear-to-linear transitions from the low-lying electronically excited 2.PI. state of B₃N- to the 1.SIGMA.+ and 3.PI. states of neutral B₃N. Based on these assignments the electron affinity of linear B-N-B-B is 2.098 .+- .035 eV. It remains uncertain if the 1.SIGMA.+ state of linear B-N-B-B or the 3A1 state of cyclic B₃N is the overall ground state. At the highest level of theory used here, CCSD(T)/aug-cc-pVTZ, the 1.SIGMA.+ state is predicted to lie 0.09 eV below the 3A1 state.

F: B2N-

P: 3

132:28079 Anion photoelectron spectroscopy of
B2N-. Asmis, Knut R.; Taylor Travis R.; Neumark,
Daniel M. Department of Chemistry, University of
California Berkeley, CA, USA J. Chem. Phys.,
111(19), 8838-8851 (English) 1999 Vibrationally
resolved 355 and 266 nm anion photoelectron spectra
of B2N are presented. Photodetachment to two
electronic states of linear B- is obsd. and, aided by
electronic structure calcns., assigned to the X
1.SIGMA.g+ X 2.SIGMA.u++e- and X 1.SIGMA.g+ A
2.SIGMA.g++e- transitions. electron affinity of B2N
is 3.098 .+- .0005 eV and the A 2.SIGMA.g+ term
energy T0 is 0.785 .+- .0005 eV. Observation of
excitations involving uneven quanta of the antisym.

1999

C.A.2000, 132

stretching mode (v3) indicates a breakdown the Franck-Condon (FC) approxn. and results from Herzberg-Teller vibronic coupling between the X 2.SIGMA.u+ and A '2.SIGMA.g+ states involving the v mode. Measurement of the angular dependence of the photodetached electro serves as a sensitive probe for the identification of these FC forbidden transitions.

A linear vibronic coupling model qual. reproduces the pertu v3 potentials of the X and A states. Artifactual symmetry breaking along v3 coordinate is obsd. in the ab initio wave functions for the neutral gr state up to the coupled-cluster level of theory, even when Brueckner orbi were used. No evidence is found for an energetically low-lying cyclic st of B2N, which was invoked in the assignment of the matrix IR spectrum of However, the matrix IR data agrees well with the peak spacing obsd. in th photoelectron spectra and reassigned to the linear X 2.SIGMA.u+ ground st

F: BnNn+
P: 3

CM.40482

2000

133:35470 Structural, Rotational, and
Vibrational Properties of Mixed Ionized Boron-
Nitrogen Clusters BnNn+ ($n = 3-10$). Giuffreda, M.
G.; Deleuze, M. S.; Francois, J-P. Department SBG
Institute for Materials Science (IMO), Limburgs
Universitair Centrum Diepenbeek B-3590, Belg.

J. Phys. Chem. A, 104(24), 5855-5860

(English) 2000

The structural, rotational, and vibrational properties of BnNn+ clusters ($n = 3-10$) were studied using d. functional theory (DFT) and compared with that of their neutral counterparts. The BnNn+ species with $n = 4, 6, 8, 10$ possess as lowest energy form a fully regular structure of Dnh symmetry, as the neutral species. In both cases, their IR vibrational

C.A. 2000

spectrum invariably contains four lines, relating to one out-of-plane nondegenerate and three in-plane doubly degenerate normal modes. However, the B_nN_n clusters with n = 3, 5, 7, 9 evolve from a fully regular D_{nh} structure to a more alternating one upon an adiabatic ionization process. In this case, ionization is also shown to strongly enhance the IR activity. Rotational moments and adiabatic ionization potentials are eventually provided to trace the structural variations induced by ionizing these clusters.

2000

F: BnNn

P: 3

134:271531 Quantum-chemistry calculation of BnNn rings ($n = 1-6$) and fulborenes, the fullerene-like molecules BnNn ($n = 12, 24, 60$). Sheichenko, D. M.; Pokropivny, A. V.; Pokropivny, V. V. Institute for Problems of Materials Science, National Academy of Sciences of Ukraine, Kiev, Ukraine. Semicond. Phys., Quantum Electron. Optoelectron. (2000), 3(4), 545-549. in English.

Electronic structure of the boron nitride rings and fullerene-like BN-mols. (the fulborenes) are calcd. using MNDO, AM1, Extended Huckel, INDO and ab initio (STO-3G) methods. The fulborene B₆₀N₆₀ is confirmed as the boron nitride analog of buckminsterfullerene C₆₀. Comparisons with other calcns. are presented and possible applications as nanoporous materials and photonic crystals are discussed.

2000

F: B12N12

P: 3

132:242180 Structure and Stability of Boron
Nitrides: Isomers of B12N12. Strout, Douglas L.

Department of Physical Sciences, Alabama
State University Montgomery, AL 36101, USA

J. Phys. Chem. A, 104(15), 3364-3366
(English) 2000 A no. of recent studies have
explored the energetics of intermediate-size
clusters, such as small fullerenes. For example,
the isomer energies of have proven difficult to
ascertain as different theor. methods give widel
varying results. For cluster sizes around 20-30

C.A.2000, 132

atoms, it is not immedia clear whether a monocyclic, graphitic, or fullerene structure is energeti preferred. In the present work, the isomers of B12N12, a ring, a "graphi sheet, and a fullerene-like cage of four- and six-membered rings, are exa theor. means. The energies of the three isomers are calcd. using Hartree theory and d. functional theory (DFT) in local and gradient-cor. forms. Dunning correlation-consistent basis sets are used, with geometries optim to the triple-.zeta. level and energies calcd. at the quadruple-.zeta. le The effects of the basis set, as well as the effects of local vs. nonloca are discussed. The results are compared to those of similar studies of C which is isoelectronic with B12N12.

$B(N_3)_3$

[Om. 40 442]

2000

Michael J. Travers and
Julanna V. Gilbert*,

J. Phys. Chem. A 2000,
104, 3780 - 85.

UV absorption



Spectra 98

Intermediates generated via
photolysis of $B(N_3)_3$, $B Cl(N_3)_2$,
and $B Cl_2(N_3)$ in low-temperature
Argon Matrices.

2000

F: BnNn+

P: 3

133:35470 Structural, Rotational, and
Vibrational Properties of Mixed Ionized Boron-
Nitrogen Clusters BnNn+ (n = 3-10). Giuffreda, M.
G.; Deleuze, M. S.; Francois, J-P. Department SBG
Institute for Materials Science (IMO), Limburgs
Universitair Centrum Diepenbeek B-3590, Belg.

J. Phys. Chem. A, 104(24), 5855-5860
(English) 2000 The structural, rotational,

C.A.2000,133

and vibrational properties of B_nN^{n+} clusters ($n = 3-10$) were studied using d. functional theory (DFT) and compared with that of their neutral counterparts. The B_nN^{n+} species with 4, 6, 8, 10 possess as lowest energy form a fully regular structure of D_n symmetry, as the neutral species. In both cases, their IR vibrational spectrum invariably contains four lines, relating to one out-of-plane nondegenerate and three in-plane doubly degenerate normal modes. However the B_nN^n clusters with $n = 3, 5, 7, 9$ evolve from a fully regular D_{nh} structure to a more alternating one upon an adiabatic ionization process. this case, ionization is also shown to strongly enhance the IR activity. Rotational moments and adiabatic ionization potentials are eventually provided to trace the structural variations induced by ionizing these clusters.

2000

$B_{12}N_{12}$,

$B_{24}N_{24}$

$B_{60}N_{60}$

neopren
racem
cmasenit

134: 106133w Boron nitride analogs of fullerenes (the fulborenes), nanotubes, and fullerites (the fulborenites). Pokropivny, Vladimir V.; Skorokhod, Valery V.; Oleinik, Galina S.; Kurdyumov, Alexander V.; Bartnitskaya, Tamara S.; Pokropivny, Alex V.; Sisoniyuk, Alexander G.; Sheichenko, Dmitry M. (Institute for Problems of Materials Science, National Academy of Sciences of Ukraine, Kiev, Ukraine 252142). *J. Solid State Chem.* 2000, 154(1), 214–222 (Eng), Academic Press. The mols. $B_{12}N_{12}$, $B_{24}N_{24}$ and $B_{60}N_{60}$ (named by the authors as fulborenes) are proposed as boron nitride analogs of the fullerenes, esp. $B_{60}N_{60}$ as the analog of C_{60} . MNDO computation was performed to confirm their stability. Multiwalled BN nanotubes and onions were produced by carbothermal synthesis. Their structure and mechanisms of growth and formation were studied by TEM, x-ray spectral microanal., and mol. dynamics techniques using B-B, B-N,

C.-F. 2001, 134, N8.

and N-N original interat. potentials. Ten possible zeolite-like crystals built from these mols. (named by the authors as fulborenites) were predicted, and their lattice parameters and densities were calcd. Comparison with explosive expts. allow the authors to identify the simple cubic fulborenite $B_{12}N_{12}$ with intermediate phase of BN. New original ideas were suggested of: (i) a hyper-diamond based on $B_{12}N_{12}$ -fulborenite with zincblende lattice, (ii) a superdense diamond based on $Me_2B_{12}N_{12}$ -fulborenide with bcc. lattice, and (iii) a quantum hypersound generator based on BN nanotube. (c) 2000 Academic Press.

2001

236/36

135: 157920d High-resolution electron microscopy and structural optimization of C_{36} , $B_{36}N_{36}$ and $Fe@B_{36}N_{36}$ clusters. Oku, T.; Suganuma, K. (Industrial Research, Osaka University, Ibaraki, Osaka.

Japan 567-0047). *Diamond Relat. Mater.* 2001, 10(3-7), 1205-1209 (Eng), Elsevier Science S.A. At. structures and the structural stability of C_{36} and $B_{36}N_{36}$ clusters were investigated by high-resoln. electron microscopy and MO/mechanics calcns. The obsd. high-resoln. image was related to a $Fe@B_{36}N_{36}$ metallofullerene structure, and a structure model was constructed. Total energy calcns. of the clusters showed that the C_{36} , $B_{36}N_{36}$, and $Fe@B_{36}N_{36}$ are stable in this order. Image simulations of these clusters agreed well with obsd. images, which confirmed the proposed structure models.

CM 75

B₁₂N₁₂

2001

*HALFONIC
CMAFENTHIL
WVNEP,
MEOP . PACIEM
CMAYKRYTH
IL CMAFENTHIL*

C.A 2001, 134, N11

134: 152866k Structure and Stability of Boron Nitrides: The Crossover between Rings and Cages. Straut, Douglas L. (Department of Physical Sciences, Alabama State University, Montgomery, AL 36101 USA). *J. Phys. Chem. A* 2001, 105(1), 261–263 (Eng), American Chemical Society. A previous study on $B_{12}N_{12}$ showed that the Hartree-Fock (HF) method, local d. approxn. (LDA), and gradient-cor. d. functional theory (specifically B3LYP) all agree in predicting that the cage isomer of $B_{12}N_{12}$ is the most stable. If the cage is the most stable $(BN)_x$ for $x = 12$, then the energetic crossover between rings and cages must take place at some $x < 12$. Rings would be most stable for small mols., and cages would be most stable for larger mols. The current study explores the question of whether rings or cages are more stable at sizes smaller than $B_{12}N_{12}$, with the goal of defining a crossover point between rings and cages. These issues are examd. by theor. calcns. using the HF, LDA, and B3LYP methods, along with second-order perturbation theory (MP2). In particular, an energetic comparison is carried out between the ring and cage isomers of $(BN)_x$ for $x = 8-11$. The major result is that boron nitride cages are more stable than rings if at least two of the six four-membered rings are isolated by hexagons, an arrangement that is first seen for the $B_{11}N_{11}$ cage.

Day No 24

[Om. 41883]

2003

Takeo Ono, Atsushi Nishi-
Naki et al.;
appearance,
ciprofylla

Chem. Phys. Lett., 2003,
380, N⁵-6, 620 - 623.